

基于深度学习的微弱模板检测与结构匹配：去语义化、多维比对与前沿技术演进报告

引言：微弱模板检测的物理本质与“去语义化”认知范式

在计算机视觉研究的发展历程中，目标检测(Object Detection)主要围绕“强语义、清晰边界、类别物性(Objectness)”展开，其典型代表如基于深度神经网络的特征提取与定位框架¹。然而，当检测目标转变为低对比度、高噪声干扰、无明显表面纹理或处于跨模态成像环境下的“微弱模板”时，此类基于宏观高阶语义的经典范式往往遭遇瓶颈³。微弱模板检测(Weak Template Detection)的物理本质，并非对具有明确类别属性的物体进行分类与包围框粗定位，而是对弱信号表征下的微弱空间物理骨架或拓扑关联进行极其精准的校准、配准与回归²。

认知心理学与视觉搜索的双重引导机制

从认知心理学与模式识别的理论视角来看，人类的模式识别经历了模板匹配理论(Template Matching Theory)、原型匹配理论(Prototype Matching Theory)及多重判别标度理论(Multiple Discrimination Scaling)的演进⁸。传统的模板匹配理论假设感知客体与长时记忆中的精确模板进行一对一的比对，虽然能解释最基础的字符识别，但在面对尺度缩放、旋转或变形时缺乏灵活性⁸；而原型匹配则通过提取一类刺激的共享均值特征(即原型)来赋予感知弹性⁸。在人类的视觉搜索(Visual Search)机制中，注意力选择由两种核心力量驱动：一是基于目标具体视觉特征的“工作记忆模板引导”(Template-based Guidance)，二是基于场景宏观语义和环境概率的“主旨语义引导”(Semantic Guidance)⁹。

在处理微弱模板时，由于目标不具备强烈的“类别语义”，视觉系统或深度检测模型如果过度依赖“主旨语义引导”，其注意力极易被背景中具有强烈语义干扰的干扰物(Distractors)夺取，从而在视网膜眼动或深层特征响应上发生严重的偏倚，引发所谓的“语义干扰”(Semantic Interference)⁵。在通用检测网络中，池化操作与全局注意力机制往往倾向于压缩空间排布、凸显高阶语义²。这导致网络在面对微弱、无强烈语义的几何图案时，深层滤波器仅能对高亮纹理或宏观语境做出响应，无法建立有效的细粒度几何对齐²。因此，微弱模板检测必须走一条“去语义化”的技术路线，通过将几何拓扑信息与表面纹理风格解耦，使相似性度量重新建立在纯粹、本质的空间物理结构之上¹¹。

微弱模板检测的跨学科应用图谱

这种“去语义化”的结构匹配需求广泛存在于多个具有极高工业和科研价值的跨学科领域：

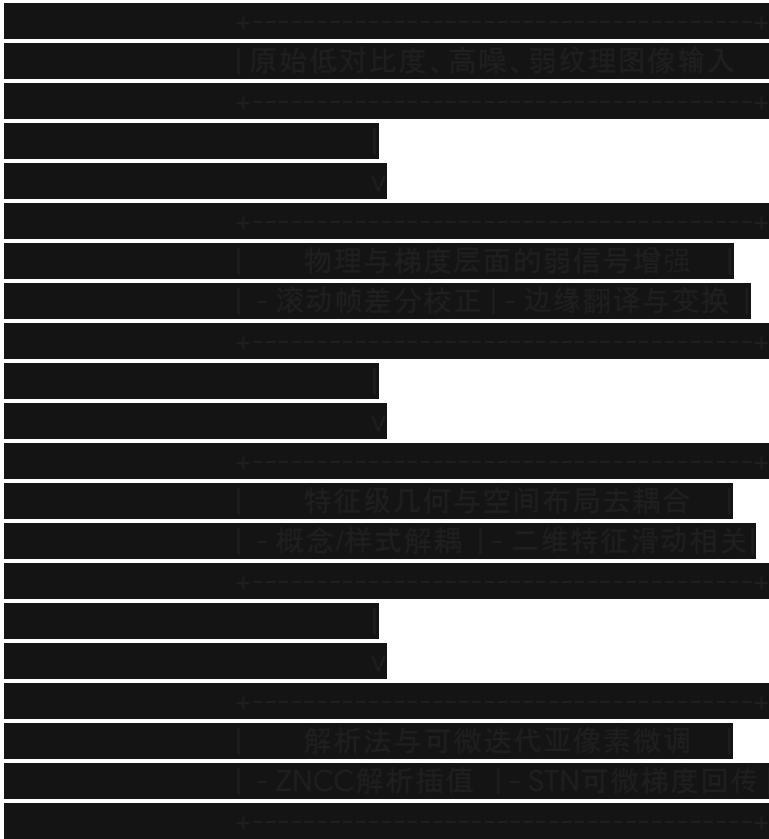
- 地球物理微弱波形相位提取：在连续高噪的地震波谱记录中，微震相拾取(Seismic Phase-Picking)与背景噪声面波频散曲线提取(如Surf-Net)需要模型在极端信噪比下对特定的物理波形模板进行精确定位¹³。
- 前沿显微结构生物学(Cryo-EM & Cryo-ET)：冷冻电镜单颗粒提取(Particle Picking)工作处于极度微弱的灰度对比度下，传统方法极易引入“参考偏差”(Reference-Dependent Bias)³；而在冷冻电子断层扫描(Cryo-ET)倾斜序列对齐中，因信息重叠极低且无显式几何标记，需采用自监督三维卷积网络进行高精度的微重构对准¹⁵。
- 精密医学显微追踪与放疗导航：低对比度CT Phantom病灶病变检测¹以及放射治疗过程中

运动肿瘤的超低对比度柔性金标记物 (Gold Anchor®) 微秒级动态追踪⁴。

- 纳米材料生长原位监控: 偏振显微镜下动态生长、处于低信噪比边缘的碳纳米管动力学跟踪¹⁷。
- 精密工业对齐与半导体量测 (AOI): 对无纹理、高表面反射、微米级精度的工业零件和对齐标记实施亚像素级空间定位⁷。

关键技术谱系梳理

微弱模板检测技术在克服高层语义干扰、处理非线性光强跳变以及追求亚像素级精度的过程中, 演进出了以下几项核心技术:



1. 物理与梯度层面的弱信号增强与背景剔除

在原位成像或微观量测等场景中, 传感器固有的光路不均、非线性光辐射差 (Non-linear Intensity Differences, NIDs) 以及低对比度是制约匹配精度的首要障碍¹⁷。为了在无强烈语义的环境下恢复本质骨架, 现行技术多采用以下手段:

- 滚动帧差分阴影校正 (Rolling-Frame Shade Correction): 在原位偏振显微视频中, 通过将

目标帧与固定延迟(如 5-30 秒)的背景帧进行差分相减, 可以消除时空静态的非均匀背景光照, 使微弱生长物(如碳纳米管)的边缘对比度瞬间提升一个数量级¹⁷。

- 归一化结构特征变换(**NSFT/LNIFT**): 利用双边滤波器在滤除高频非平稳噪声的同时保留结构边界, 并通过局部归一化操作对冲复杂的辐射变动, 将图像转化为照度不变的几何响应场²¹。
- 边缘翻译模块(**Edge Translation**): 对于“掩膜模板-灰度图像”等跨模态匹配任务, 深度特征网络由于两端特征分布不一致而极易失效⁵。利用前置边缘提取或相位拉伸变换(Phase Stretch Transform, PST), 将两端一致“翻译”为一阶物理梯度图或相位图, 使后续匹配专注于纯粹的边缘骨架⁵。

2. 特征级几何拓扑与空间布局的无损表征

通用检测网络在卷积和池化过程中会发生几何坍塌, 为了在模型中无损地保留模板的精细几何结构并抵御背景语义干扰, 前沿模型在网络拓扑上进行了专门的设计:

- 无池化与通道点积网络(如**TMR**): 相较于常规检测模型将模板池化为一维原型向量的做法, 模板匹配与回归(TMR)网络采用RoIAlign将模板在图像特征图上的二维排布完整地抠取出来, 并直接通过通道滑动互相关(Channel-wise Cross-Correlation)生成结构相似度图²。
- 主导方向模板(**DOT**)与二进制加速: 在工业对齐中, 为了实现对无纹理目标的实时匹配, 算法放弃提取易受语义和照度干扰的分类特征, 转而提取图像边缘的主导梯度方向(Dominant Gradient Orientations), 并将其编码为二进制特征, 利用现代CPU的SIMD/SSE指令进行超高速的位 AND/AND-not 操作, 实现毫秒级响应²⁶。
- 混合二维/三维点云配准: 对于局部结构极为相似、单纯二维轮廓易发生混淆的无纹理件, 通常基于LINEMOD算法提取强边缘和表面法向量建立多维模板库, 并利用Iterative Closest Point(ICP)点云配准算法在三维空间中对初始粗定位结果进行几何纠偏²⁹。

3. 频域解耦、能量响应模型与变换不变性

频域方法在削弱非线性辐射差、实现大范围旋转/尺度(R-S-T)变动对齐方面具有天然的物理优势²²。

- **FILER**(局部能量响应频域信息匹配): 该算法在频域内构建局部能量响应模型, 其能够检测多模态图像在频域上的共同能量分布, 从物理层面抵抗复杂的非线性灰度畸变²²。
- 对数极坐标变换(**Log-Polar Transform, LPT**)解耦: 根据傅里叶平移定理, 空间域的平移表现为频域的相位差, 而空间域的旋转和尺度缩放在对数极坐标域中则转化为简单的线性平移²²。通过在特征层进行LPT, 配合相位相关(Phase Correlation)极值检索, 可以使网络具备极佳的全局变换不变性, 且不依赖任何高维特征的学习²²。
- 零填充频域卷积(**ZPFDCNN**): 针对一维或二维微弱信号(如脑电图、波形相位), 在时/空域进行零填充(Zero-Padding), 使离散傅里叶变换后的功率谱密度(PSD)网格显著加密, 配合CNN的非线性表征能力, 在频域进行精细的空间频谱对应分类³³。

4. 连续相似性场建模与可微亚像素细化

在半导体光刻对准、核孔径断层重构等尖端物理量测中, 定位精度必须跨越物理像素的网格限制(达到 **0.1** 像素以下)¹⁸。当前这一层面的技术主要呈现出两条分水岭:

解析插值与表面拟合 (Analytical Interpolation & Fitting)

在离散代价值 (如SAD、SSD、NCC或ZNCC) 网格极大值邻域内, 建立连续的抛物线或二阶多项式表面方程³⁶。例如, 基于二阶多项式对局部灰度或梯度幅度进行表面拟合³⁷:

$$G(x, y) = m_0 + m_1x + m_2y + m_3xy + m_4x^2 + m_5y^2$$

通过最小二乘法 (Least Squares Method) 求解系数 m_i , 求取该连续二阶曲面的解析极值点, 以此获得高达亚像素精度的几何对齐³⁷。研究指出, 在所有离散度量中, 由于零均值归一化互相关 (ZNCC) 函数天然消除了局部线性光强变动带来的偏移, 基于ZNCC的连续插值对高噪环境具备最强的稳健性³⁶。

端到端可微特征对齐

该架构采用全局特征图 (如基于自监督基座特征Self-TM³⁹ 或Transformer特征⁵) 构建“粗对齐-精细化”双阶段管线。在粗阶段通过多尺度自注意力 (Self-Attention) 与交叉注意力 (

Cross-Attention) 聚合上下文, 并求解全局粗单应性变换 (Homography H_c)⁵。

细化阶段则将图像送入空间变换器网络 (Spatial Transformer Network, STN) 中, 在可微的双线性重采样 (Bilinear Resampling) 支持下, 通过密集特征场的点对点梯度流, 利用反向传播 (Back-propagation) 或梯度下降直接优化微调变换矩阵参数⁵。此过程完全避免了传统离散特征匹配中非可微的RANSAC异常值过滤机制, 保证了图像空间形变的几何连贯性与物理一致性⁵。

主流技术方案系统级对比

微弱模板检测与结构匹配领域呈现出多种范式的交融。下表从算法核心、语义干扰抗性、空间拓扑保留度、亚像素定位能力及代表性工业/科研应用场景等方面对主流技术方案进行了系统级梳理:

表1: 微弱模板检测与结构匹配主流算法大类多维对比表

算法框架分类	代表性算法架构	核心对齐机制	语义干扰抗性	空间几何拓扑保留度	亚像素精密定位精度	相对计算复杂度与部署效率	典型跨学科应用场景
经典梯度与边界匹配	LINE-2D /MOD ²⁸ , HOG位运算 ²⁷ , Fast-Match ²⁶	提取图像一阶强边缘及梯度主方向; 基于多分辨率	极高 (完全剥离了高阶宏观分类语境, 仅依靠物理	高 (直接保留并离散匹配物理边界点的法向空间矢	中等 (依赖后期ICP对齐纠偏或局部的曲面拟合插值)	极低 (支持高度硬件级并行, 单帧计算时间常低于	晶圆切片对齐、精密半导体AOI检测、刚体零

		图像金字塔与SSE/SIMD位运算进行快速滑动窗对准 ¹⁸ 。	边缘) ²⁸ 。	量) ²⁷ 。	²⁷ 。	5 ms) ¹⁸ 。	件快速定位 ⁷ 。
空间特征模板与回归	TMR (ICCV 2025 Highlight) ²	利用 RoIAlign 裁剪模板二维特征图，与全图特征图进行通道滑动互相关，通过轻量级卷积头直接回归尺度与位移 ² 。	中等偏高 (冻结主干分类网络，仅用轻量可训练层构建局部结构匹配) ² 。	高 (摒弃了全图池化，使卷积回归算子处于高度保真的特征网格中) ² 。	中等 (由回归头的特征网格分辨率决定，未针对极限亚像素精细化) ² 。	低 (单向前向 CNN 推理，计算密集度低，推理速度极快) ² 。	弱物性重复图案检测、少样本几何件拾取、无类别限定几何对准 ² 。
频域局部能量匹配	FILER ²² , ZPFDC NN ³³	将空间特征图转化为局部频域能量谱；利用 LPT 将旋转与缩放降维解耦，通过相位相关估计几何位移 ²² 。	高 (频域局部能量响应自适应对冲了空间非线性照度和纹理起伏) ²² 。	高 (高频及中频能量分量完整蕴含了图像的边界空间排布) ²² 。	高 (基于相位相关极值点的解析求解可稳定获取亚像素位置) ³¹ 。	中等 (计算瓶颈在于二维 FFT 与极坐标离散采样转换) ²² 。	多模态遥感对准、大辐射偏差光学配准、微弱波形频谱识别 ²² 。

可微粗细双阶段细化	Structure-Aware Refinement ⁵ , MissAlignment ¹⁵	边缘翻译后, 通过 Transformer 建立全局粗对应; 细化阶段采用空间变换器 (STN) 基于可微梯度反向迭代优化形变参数 ⁵ 。	极高 (前置多模态翻译层, 强制过滤高阶语义噪音) ⁵ 。	极高 (密集特征匹配场结合全局单应几何流, 拓扑一致性强) ⁵ 。	极高 (通过特征级可微反向微调, 定位精度可达 0.05 像素) ⁵ 。	高 (包含双分支 Transformer 大范围粗匹配与迭代细化) ⁵ 。	跨模态柔性件对齐、超显微电镜断层三维重构 (Cryo-ET) ⁶ 。
特征解耦与因式剥离	DiCo ¹¹ , DAFNet ¹² , MixNMatch ⁴⁴	槽注意力与解耦自编码器将图像解耦为独立的结构/骨架插槽与模态/纹理向量, 再对结构通道进行相似性匹配 ¹¹	极高 (强制将纹理、颜色和风格解耦, 使核心层仅处理纯粹几何拓扑) ¹¹	高 (槽向量具备局部的空间锚定机制, 避免全局混淆) ¹¹	中等 (主要提供解耦对齐, 通常需要配合微调网络提高亚像素级精度) ¹²	高 (端到端解耦模型较重, 包含编码、解耦重构和多任务损失优化) ¹²	多模态医学分割、精细化多属性图像定位 ¹¹

为了提供直观的量化对比, 下表汇编了从各细分领域具有里程碑意义的学术文献中整理的实测数据, 涵盖了医学、生物学、工业测量等多维应用场景:

表2: 各细分领域关键实验研究的量化性能指标对比表

研究文献与数	检测或对齐的	所采用的深度	对比基准 (核心实验量化
--------	--------	--------	--------	--------

数据集来源	目标特征	模型或技术方案	Baseline)	性能指标表现
Catphan® CT 模体测试 ¹	超低对比度圆盘物体 (尺寸 5/9 mm, 对比度差仅 10 HU)	7层深度残差自适应神经网络 (DLA) ¹	12位专业放射科医生 (人类视觉上限) ¹	DLA: 接收者工作特征曲线下面积 (AUC) 显著且稳定地超越所有医生 ($p < \quad$), 且在超低辐射剂量与不同重建算法切换下性能无明显衰减 ¹ 。
临床低对比度 X 射线实时追踪 ⁴	植入体内的易变形微型柔性金标记物 (Gold Anchor®)	训练于纯合成低对比度透视数据的轻量化孪生网络 (SiamDS) ⁴	传统灰度模板匹配与粒子滤波器追踪 ⁴	SiamDS 方案: 前列腺病例追踪误差仅为 0.42 ± , 胰腺病例仅为 0.97 ± ; 经 TensorRT 硬件优化后单帧推理耗时仅为 3.8 ms ⁴ 。
RPINE 少样本通用图案检测 ⁴³	极度缺乏显式物性、非语义的重复微弱结构与 nameless 零件	模板匹配与回归架构 (TMR) + SAM 边界细化 ²	DAVE ⁴³ , GeCo ⁴³ , C-DETR ⁴³	TMR (Ours): 无论在 seen 还是 unseen 数据集上, 其平均精度 (AP) 均大幅跃升。在 unseen 划分中, AP 达到 22.71% , AP50 达到 39.68% , 大幅超越 DAVE (AP 4.12%) 和 GeCo (AP 11.47%) ⁴³ 。

<p>LINEMOD 弱纹理刚体 Pose 估计²⁹</p>	<p>平滑、单色、无多余纹理细节的工业零部件</p>	<p>融合边缘高保真分割与密集向量场投票的深度网络 (DR_PVNet)²⁹</p>	<p>经典 PVNet²⁹ 及基于 LINEMOD 的模板匹配²⁹</p>	<p>DR_PVNet: 在 LINEMOD 公共弱纹理数据集上, 其 2D 投影精度达到 99.38%, ADD(-S) 指标达到 90.12%; 在自制复杂家电弱纹理数据集上 2D 投影精度高达 94.95%²⁹。</p>
<p>原位 HPM 偏振纳米显微视频¹⁷</p>	<p>超低偏振对比度、高噪动态生长的单壁碳纳米管</p>	<p>滚动帧差分阴影校正 (5-30 s 延迟) + Mask-RCNN + 运动跟踪¹⁷</p>	<p>未经差分校正的直接显微图像传统边缘跟踪¹⁷</p>	<p>差分 DLA 方案: 滚动帧阴影校正使碳纳米管边缘对比度瞬间提升 10 倍¹⁷; Mask-RCNN 实现了全自动追踪, 动力学测量曲度与高成本的人工复核完全一致¹⁷。</p>
<p>2D DIC Metrology 挑战赛数据集³⁵</p>	<p>金属试件表面微纳级微结构随机散斑跟踪</p>	<p>自监督特征提取 (SuperPoint)³⁵ 对比 迭代相位相关 (IPC)³⁵</p>	<p>传统高精度最小二乘匹配 (LSM)³⁵ 与 SIFT³⁵</p>	<p>评估表现: 在极致的亚像素位移精密量测中, SuperPoint 和传统 IPC 在高频微纳表面表现出较慢的收敛速度, 定位精度较差; 传统 LSM 方案凭借严密的曲面连续泰勒展开拟合, 依然展现出最具竞争力的精度指标与耗时控制平衡³⁵。</p>

具有创新视角的微弱模板检测前沿研究方向

针对微弱模板检测领域在应对极低信噪比、极值定位不稳及对强语义偏置敏感等行业核心痛点，本报告站在前沿学术研究的视角，提出三个具有高度前瞻性与技术颠覆性的研究方向。

方向一：物理机制深度耦合的免标注自监督对齐引擎

核心科学挑战

当前基于深度学习的模板检测网络极其依赖大规模的临床或工业真实对齐标注数据⁴。然而，由于真实的微小形变（如细胞内大分子微秒级位移、微米级硅片物理翘曲）在微观世界中极难标注，多数模型只能依靠简化的计算机图形学技术合成带有虚假纹理、简化噪声和理想几何变换的模拟数据（Synthetic Data）进行训练⁴。这导致模型在部署至真实物理场景时，常常因无法对冲复杂的折射率畸变、物理散射光晕和传感噪声退化而产生严重的泛化失效（Sim-to-Real Gap）¹⁵。

创新路线方案

该方向提倡发展一种“无标注物理先验嵌入对齐网络”（Untrained Physics-Informed Self-Supervised Alignment Engine）。该路线放弃了依赖海量标注数据的传统有监督训练路径，转而采用一种“测试时即时优化”（Test-Time Immediate Optimization）的设计¹⁵。其核心思想是在网络推理或自我演进的过程中，显式地将光学/力学成像退化过程作为物理约束投影到损失函数中⁴⁸。

具体地，本方案构建一个无监督的“预测器-校准器”（Predictor-Corrector）双阶段迭代网络⁴⁸：

- 预测步：网络利用一阶空间变换网格在潜在三维/二维空间产生一个变形场，将图像结构投影对齐；
- 校正步：利用可微的光学成像点扩散函数（Point Spread Function, PSF）和高维波动衍射物理方程，对变形后的结构图进行物理成像退化重建¹⁵。
- 损失函数：计算重建图像与原始退化退化观测图之间的物理误差¹⁵。

为了保证位移流场的物理合理性，我们在损失函数中嵌入偏微分偏置项⁴⁸。设变换位移场为

$\mathbf{u} = (u, v)$ ，通过引入超弹性力学自由能（最小势能原理损失 $E_{potential}$ ）作为自监督正则化约束，确保对齐过程中任意微观区域的扭曲、弯曲和拉伸均符合力学连续介质的非线性物理规律，拓扑完备且可微⁴⁸：

$$\mathcal{L}_{total} = \mathcal{L}_{similarity}(\mathbf{I}_{src}(\mathbf{x} + \mathbf{u}), \mathbf{I}_{tgt}) + \lambda \int_{\Omega} \mathcal{W}(\nabla \mathbf{u}) d\Omega$$

其中 \mathcal{W} 为超弹性材料应变能密度函数，从机理上杜绝了无语义特征区域产生的虚假撕裂与大畸变失真⁴⁸。在多任务物理损失梯度求导过程中，通过集成二阶拟牛顿优化器（SOAP）对冲不同偏微分物理约束之间的梯度冲突（Directional Gradient Conflicts），极大地提高收敛精度与稳定性⁵¹。该引擎在冷冻电镜连续断层重组、大变形非刚体对齐等领域的零样本泛化中具有颠覆性的应用价值¹⁵。

方向二：通用视觉基座大模型的显式几何偏置校准与插槽解耦匹配架构

核心科学挑战

近年来,以SAM-2或DINOv2为代表的通用视觉基座模型(Vision Foundation Models)在自然图像语义分割与特征提取中展现出降维打击般的泛化能力⁴⁷。然而,由于这类基座模型是在海量蕴含丰富人类语义标签的数据集上训练而来,其网络内部产生了极强的“语义与形状偏置”(Semantic & Shape Bias),倾向于建立宏观的物体边界⁵²。当被应用于极低对比度、无语义特征的晶圆刻蚀标记、金属微观组织等微弱模板检测时,基座模型的深层特征常发生“过分割(Over-segmentation)”或对局部关键拓扑变化的“视而不见”⁵²。

创新路线方案

该方向致力于开发一种“面向基座模型的自监督几何/样式解耦匹配器”(Disentangled Concept Slot Matcher for Foundation Models),使通用大模型既能继承其宏观泛化特权,又能彻底对冲语义干扰¹¹。

第一步,建立一种“自监督无标注纹理置换协议”(Controlled Texture Replacement Protocol):利用成分神经纹理插值方法(CNT),将开源大规模图像数据集中物体的纹理和光照随机替换为高度多变的抽象随机散斑或金属冷光样式,而严格保留其几何空间掩膜⁵²。通过在这种纹理高度退化的大规模图像上对基座模型(如SAM-2)进行无监督的对比微调(Fine-tuning),强制模型内部的关注权重由“强语义表面纹理”向“高维空间结构转换”移动,实现大模型的形状-纹理偏置校准(Bias Calibration),得到高度关注纯几何拓扑边界的特征骨干(如TextureSAM)⁵²。

第二步,在特征对准层引入“插槽-概念”槽注意力解耦架构(Slot-Concept Attention)¹¹:

- **Slot 分解**:使用一组可学习的局部槽向量(Slots),分别锚定图像的不同物理局部,将模型输出的多维特征解耦量子化¹¹;
- **Concept 阻断**:每个 Slot 通过独立的投影块,在投影中施加互不相关的正交性约束,将输入彻底分离为“局部拓扑几何槽”(Shared Concept Slot)与“辐射干扰/材质样式槽”(Specific Concept Slot)¹¹;
- **几何配准**:在对齐阶段,仅仅针对“几何拓扑槽”产生的二维流场图进行模板点对点相关度匹配,其余槽的信息在损失计算中作为背景语义噪声进行显式衰减惩罚,从而首次实现兼具超强零样本跨域泛化能力和零语义干扰的微米级工业模板对齐¹¹。

方向三:能量响应场表征下的连续密集流动配准

核心科学挑战

在极低对比度与低信噪比图像(如金属表面纳米划痕监测、红外微弱小目标追踪)中,由于纹理和细节极度匮乏,任何基于局部离散关键点检测(Keypoints)再进行配准的算法(如传统SIFT/ORB或深度特征对)均会失效,原因在于模型根本无法定位和重现足够数量的稳定关键点⁶。同时,若在此类灰度变化平缓、缺乏特征的区域强制建立代价值网格(Cost-Volume),所算出的相似度矩阵会产生大范围平坦的“伪相关多峰”(Multiple False Correlation Peaks),使回归器陷入严重的局部极小值崩溃³。

创新路线方案

为了解决极低对比度下的特征平坦性与多峰混淆,该方向提出构建一种“几何流形约束的密集连续能量流配准架构”(Continuous Diffeomorphic Flow on Dense Energy Fields)。该路线完全抛弃

了“先提取离散关键点再配准”的旧思路，而是把整个输入模板图像视为一个高维、连续的能量分布场²²。

首先，网络采用由深度残差块(DLA)构成的无池化密集特征提取器，输出全分辨率的空间流形特征图，并使用类似PETR的“三维位置敏感嵌入”(Position Embedding Transformation)将每个像素处的特征赋予全局唯一的几何坐标向量，从表征层杜绝相似几何局部引起的混淆和虚假匹配峰¹。

其次，引入“连续流代价值体积”(Continuous Cost-Volume)理论³⁶：利用零均值归一化互相关(ZNCC)特征在频域的连续傅里叶逼近，在不进行空间降采样的情况下，构建一个完全连续、解析可微的全局代价值相似势能曲面³⁶。在这个曲面上，我们将配准问题定义为一个由物理势能驱动的密集变形场求解过程⁴⁸。

通过施加整体微分几何中的同胚变形流约束，借助空间变换器(STN)使变形场像水流一样在相似势能梯度上自适应地、平滑地流动，从而将模板完美贴合到微弱目标图像的隐式边缘上⁵。这种密集场流动匹配方案完全不需要传统离散点对应，即便对于纹理近乎完全丧失的高噪声表面，也能依靠周边拓扑边界的全局刚性约束，通过梯度反向传播机制引导亚像素精度的整体完美贴准⁵。

结论与工程落地转化指南

深度学习微弱模板检测与高精度结构匹配技术，正在由单纯依靠人工设计梯度模板或宏观语义回归，向着“物理成像退化模型深度耦合、特征空间显式几何解耦、可微端到端梯度微调”的全新技术维度迈进。

针对精密电子制造、医疗介入追踪和科学仪器量测领域的工程落地，本报告提供以下三点落地转化指南：

- 推行“粗-细双阶段混合配准策略(**Coarse-to-Fine Hybrid Metrology**)”：在工业高精检测中，不应寄希望于单一庞大神经网络直接输出极高精度的变形。第一阶段应采用轻量级、带有先验特征增强机制(如NSFT/PST)的目标检测或经典的LINEMOD滑窗框架迅速锁定微弱目标的水平包围框，进行粗略对准与分类²³；第二阶段则由可微的STN密集流对齐网络或ZNCC连续解析表面拟合模块在局部裁剪区域内执行端到端的亚像素精细化纠偏，以兼顾检测速度与测量精度⁵。
- 构建基于物理模型的全真数字孪生(**Digital Twin**)仿真训练链：面对超高精度对准标注稀缺的常态，工程实践中必须摒弃简化的缩放旋转等图像学数据增强⁴。应当基于BlenderProc等高级图形学动力学物理引擎，高度模拟工业相机传感器、晶圆材料在环境强反射下的折射色散特征和非线性光斑干涉，在数字空间制造极度贴合物理现实的仿真数据集²⁹。配合结构感知的自监督伪标签学习(Structure-aware Pseudo Labels)，实现在无需真实临床或工业生产现场标注数据的条件下，模型出厂即具备零样本、极高鲁棒性的精密对准能力⁷。
- 实施硬件位运算并行与可微推演端侧部署：为满足在线生产检测(如PCB自动光学检测或半导体划片监控)毫秒级的极速对齐指标，深度解耦或特征提取模块的设计应大力推行通道深度可分离卷积(DW-Conv)和极简化线性投影结构，避免引入臃肿的复杂自注意力机制²。在边缘端(Edge Devices)部署时，推荐在完成PyTorch等高级框架的可微梯度优化训练后，将网络推理部分蒸馏(Distillation)并量化为FPGA、ASIC二进制权重，或者利用TensorRT对模型进行通道合并和算子融合¹⁶，借助底层指令集(SIMD/SSE)的并行互相关加速²⁷，确保微秒级延迟下的亚像素高频精密控制。

引用的著作

1. Robustness of Deep Learning Algorithm to Varying Imaging Conditions in Detecting Low Contrast Objects in Computed Tomography Phantom Images: In Comparison to 12 Radiologists - PMC, 访问时间为 五月 27, 2026, <https://pmc.ncbi.nlm.nih.gov/articles/PMC7997324/>
2. Few-Shot Pattern Detection via Template Matching and Regression - arXiv, 访问时间为 五月 27, 2026, <https://arxiv.org/html/2508.17636v1>
3. A deep convolutional neural network approach to single-particle recognition in cryo-electron microscopy - PMC, 访问时间为 五月 27, 2026, <https://pmc.ncbi.nlm.nih.gov/articles/PMC5521087/>
4. Real-Time Tracking of Flexible Markers in Low-Contrast Fluoroscopy Using a Deep Neural Network Trained Solely on Synthetic Data - IEEE Xplore, 访问时间为 五月 27, 2026, <https://ieeexplore.ieee.org/document/11492088?>
5. Learning accurate template matching with differentiable coarse- to-fine correspondence refinement - IEEE Xplore, 访问时间为 五月 27, 2026, <https://ieeexplore.ieee.org/iel8/10750449/10897642/10897650.pdf>
6. (PDF) Learning accurate template matching with differentiable ..., 访问时间为 五月 27, 2026, https://www.researchgate.net/publication/379462011_Learning_accurate_template_matching_with_differentiable_coarse-to-fine_correspondence_refinement
7. An Efficient Deep Template Matching and In-Plane Pose Estimation Method via Template-Aware Dynamic Convolution - arXiv, 访问时间为 五月 27, 2026, <https://arxiv.org/html/2510.01678v1>
8. Pattern recognition (psychology) - Wikipedia, 访问时间为 五月 27, 2026, [https://en.wikipedia.org/wiki/Pattern_recognition_\(psychology\)](https://en.wikipedia.org/wiki/Pattern_recognition_(psychology))
9. Contrasting gist-based and template-based guidance during real-world visual search - PMC, 访问时间为 五月 27, 2026, <https://pmc.ncbi.nlm.nih.gov/articles/PMC5809241/>
10. Few-Shot Pattern Detection via Template Matching and Regression - arXiv, 访问时间为 五月 27, 2026, <https://arxiv.org/pdf/2508.17636>
11. Disentangled Concept Representation for Text-to-image Person Re-identification - arXiv, 访问时间为 五月 27, 2026, <https://arxiv.org/html/2601.10053v2>
12. Disentangle, align and fuse for multimodal and semi-supervised image segmentation - PMC, 访问时间为 五月 27, 2026, <https://pmc.ncbi.nlm.nih.gov/articles/PMC8011298/>
13. Jiang Yiran(蒋一然) - Google Scholar, 访问时间为 五月 27, 2026, <https://scholar.google.com.sg/citations?user=FRCRT-UAAAAJ&hl=en>
14. Jiang Yiran(蒋一然) - Google Scholar, 访问时间为 五月 27, 2026, <https://scholar.google.com/citations?user=FRCRT-UAAAAJ&hl=en>
15. MissAlignment Teaches Itself Better Cryo-ET Tilt-Series Alignment by Making It Worse - bioRxiv, 访问时间为 五月 27, 2026, <https://www.biorxiv.org/content/10.64898/2026.04.29.721716v1.full.pdf>
16. WACV Poster Real-Time Tracking of Flexible Markers in Low-Contrast

- Fluoroscopy Using a Deep Neural Network Trained Solely on Synthetic Data, 访问时间为 五月 27, 2026, <https://wacv.thecvf.com/virtual/2026/poster/947>
17. Deep-learning recognition and tracking of individual nanotubes in low-contrast microscopy videos - Beilstein Journals, 访问时间为 五月 27, 2026, <https://www.beilstein-journals.org/bjnano/articles/16/96>
 18. Chun-Wei Yeh's research works | National Taipei University of Technology and other places - ResearchGate, 访问时间为 五月 27, 2026, <https://www.researchgate.net/scientific-contributions/Chun-Wei-Yeh-2033501310>
 19. One Method for Improving Overlay Accuracy Through Focus Control - PMC, 访问时间为 五月 27, 2026, <https://pmc.ncbi.nlm.nih.gov/articles/PMC12943688/>
 20. Study on a high precision alignment system with dual cameras - PMC, 访问时间为 五月 27, 2026, <https://pmc.ncbi.nlm.nih.gov/articles/PMC12923068/>
 21. TAR: Text Semantic Assisted Cross-modal Image Registration Framework for Optical and SAR Images - arXiv, 访问时间为 五月 27, 2026, <https://arxiv.org/html/2605.12064v1>
 22. Multimodal Image Matching based on Frequency-domain Information of Local Energy Response - arXiv, 访问时间为 五月 27, 2026, <https://arxiv.org/html/2503.20827v1>
 23. Multimodal Weak Texture Remote Sensing Image Matching Based on Normalized Structural Feature Transform - MDPI, 访问时间为 五月 27, 2026, <https://www.mdpi.com/2072-4292/18/5/775>
 24. Enhancing Feature Detection and Matching in Low-Pixel-Resolution Hyperspectral Images Using 3D Convolution-Based Siamese Networks - PMC, 访问时间为 五月 27, 2026, <https://pmc.ncbi.nlm.nih.gov/articles/PMC10534652/>
 25. Enhancing Feature Detection and Matching in Low-Pixel-Resolution Hyperspectral Images Using 3D Convolution-Based Siamese Networks - Shibaura Institute of Technology, 访问时间为 五月 27, 2026, <https://shibaura.elsevierpure.com/en/publications/enhancing-feature-detection-and-matching-in-low-pixel-resolution-/>
 26. A Survey of 2D and 3D Image Matching in Industrial Object Alignment - ResearchGate, 访问时间为 五月 27, 2026, https://www.researchgate.net/publication/306245415_A_Survey_of_2D_and_3D_Image_Matching_in_Industrial_Object_Alignment
 27. (PDF) Fast and Precise Template Matching Based on Oriented Gradients - ResearchGate, 访问时间为 五月 27, 2026, https://www.researchgate.net/publication/262354570_Fast_and_Precise_Template_Matching_Based_on_Oriented_Gradients
 28. Dominant Orientation Templates for Real-Time Detection of Texture-Less Objects - TU Graz, 访问时间为 五月 27, 2026, https://www.tugraz.at/fileadmin/user_upload/Institute/ICG/Images/team_lepetit/publications/hinterstoisser_cvpr10.pdf
 29. DR_PVNet: An Improved PVNet Network for Weakly Textured Object Pose Estimation in Indoor Complex Environments - IEEE Xplore, 访问时间为 五月 27, 2026, <https://ieeexplore.ieee.org/iel8/6287639/10820123/10855419.pdf>

30. Detection and Grasping of Texture-Less Objects Based on 3D Template Matching, 访问时间为 五月 27, 2026, <https://ieeexplore.ieee.org/document/9550615/>
31. What is the difference between phase correlation and template matching in OpenCV?, 访问时间为 五月 27, 2026, <https://stackoverflow.com/questions/37143979/what-is-the-difference-between-phase-correlation-and-template-matching-in-opencv>
32. [2503.20827] Multimodal Image Matching based on Frequency-domain Information of Local Energy Response - arXiv, 访问时间为 五月 27, 2026, <https://arxiv.org/abs/2503.20827>
33. A Zero-Padding Frequency Domain Convolutional Neural Network for SSVEP Classification - PMC, 访问时间为 五月 27, 2026, <https://pubmed.ncbi.nlm.nih.gov/articles/PMC8967947/>
34. A Zero-Padding Frequency Domain Convolutional Neural Network for SSVEP Classification, 访问时间为 五月 27, 2026, <https://www.frontiersin.org/journals/human-neuroscience/articles/10.3389/fnhum.2022.815163/full>
35. Template matching techniques for high accuracy workpiece measurements - repositUm, 访问时间为 五月 27, 2026, <https://repositum.tuwien.at/bitstream/20.500.12708/226915/1/Waibel%20Manuel%20-%202026%20-%20Template%20matching%20techniques%20for%20high%20accuracy%20workpiece...pdf>
36. Generalized Closed-Form Formulae for Feature-Based Subpixel Alignment in Patch-Based Matching, 访问时间为 五月 27, 2026, https://researchportal.murdoch.edu.au/view/pdfCoverPage?instCode=61MUN_IN ST&filePid=13178587820007891&download=true
37. Robust shape-based template matching algorithm for target localization under SEM, 访问时间为 五月 27, 2026, <https://opg.optica.org/abstract.cfm?uri=oe-31-20-32652>
38. Generalized Closed-form Formulae for Feature-based Subpixel Alignment in Patch-based Matching - arXiv, 访问时间为 五月 27, 2026, <https://arxiv.org/html/2112.00941v3>
39. Self-Supervised Foundation Model for Template Matching - MDPI, 访问时间为 五月 27, 2026, <https://www.mdpi.com/2504-2289/9/2/38>
40. Template matching - Wikipedia, 访问时间为 五月 27, 2026, https://en.wikipedia.org/wiki/Template_matching
41. BOLD Features to Detect Texture-less Objects - CVF Open Access, 访问时间为 五月 27, 2026, https://openaccess.thecvf.com/content_iccv_2013/papers/Tombari_BOLD_Features_to_2013_ICCV_paper.pdf
42. Chipmunk-g4/Template-Matching-and-Regression - GitHub, 访问时间为 五月 27, 2026, <https://github.com/Chipmunk-g4/Template-Matching-and-Regression>
43. Few-Shot Pattern Detection via Template Matching and Regression, 访问时间为 五月 27, 2026, <https://chipmunk-g4.github.io/TMR/>
44. MixNMatch: Multifactor Disentanglement and Encoding for Conditional Image Generation - CVF Open Access, 访问时间为 五月 27, 2026,

- https://openaccess.thecvf.com/content_CVPR_2020/papers/Li_MixNMatch_Multifactor_Disentanglement_and_Encoding_for_Conditional_Image_Generation_CVPR_2020_paper.pdf
45. CodeBind: Decoupled Representation Learning for Multimodal Alignment with Unified Compositional Codebook - arXiv, 访问时间为 五月 27, 2026, <https://arxiv.org/html/2605.18257v1>
 46. A dynamic search Siamese network for infrared target tracking - SPIE Digital Library, 访问时间为 五月 27, 2026, <https://www.spiedigitallibrary.org/conference-proceedings-of-spie/14005/1400519/A-dynamic-search-Siamese-network-for-infrared-target-tracking/10.1117/12.3092878.full>
 47. CVPR Poster FoundationStereo: Zero-Shot Stereo Matching, 访问时间为 五月 27, 2026, <https://cvpr.thecvf.com/virtual/2025/poster/34330>
 48. A Physics-Informed Deep Learning Deformable Medical Image Registration Method Based on Neural ODEs - PMC, 访问时间为 五月 27, 2026, <https://pmc.ncbi.nlm.nih.gov/articles/PMC12420745/>
 49. Physics-Informed Machine Learning for Computational Imaging - EECS, 访问时间为 五月 27, 2026, <https://www2.eecs.berkeley.edu/Pubs/TechRpts/2022/EECS-2022-177.pdf>
 50. A CNN-Based Physics-Informed Neural Networks for Solving the Neutron Diffusion Equation, 访问时间为 五月 27, 2026, <https://epubs.ans.org/download/?a=58108>
 51. Gradient Alignment in Physics-informed Neural Networks: A Second-Order Optimization Perspective - NeurIPS 2026, 访问时间为 五月 27, 2026, <https://neurips.cc/virtual/2025/poster/116510>
 52. Decoupling Shape and Texture in SAM-2 via Controlled Texture Replacement - CVF Open Access, 访问时间为 五月 27, 2026, https://openaccess.thecvf.com/content/WACV2026/papers/Cohen_Decoupling_Shape_and_Texture_in_SAM-2_via_Controlled_Texture_Replacement_WACV_2026_paper.pdf
 53. DOPE++: 6D pose estimation algorithm for weakly textured objects based on deep neural networks - PMC, 访问时间为 五月 27, 2026, <https://pmc.ncbi.nlm.nih.gov/articles/PMC9176784/>
 54. An Attention-Based 6D Pose Estimation Network for Weakly Textured Industrial Parts, 访问时间为 五月 27, 2026, <https://www.techscience.com/cmcl/v86n2/64749/html>
 55. Learning Energy-Based Models in High-Dimensional Spaces with Multiscale Denoising-Score Matching - PMC, 访问时间为 五月 27, 2026, <https://pmc.ncbi.nlm.nih.gov/articles/PMC10606347/>
 56. Study on a high precision alignment system with dual cameras | PLOS One, 访问时间为 五月 27, 2026, <https://journals.plos.org/plosone/article?id=10.1371/journal.pone.0339765>
 57. Multi-Class Industrial Texture-less Object Detection Method in Cluttered and Occluded Scenes - IEEE Xplore, 访问时间为 五月 27, 2026, <https://ieeexplore.ieee.org/document/10261807/>